

УДК 532.597:519.6+612.13

**ВЫНУЖДЕННЫЕ КОЛЕБАНИЯ ДАВЛЕНИЯ В ТРУБКАХ
ИЗ АКТИВНОГО МАТЕРИАЛА**

СКОБЕЛЕВА И. М.

Рассматривается в квазидиоднерном безынерционном приближении осесимметричное течение ньютоновской жидкости в трубке конечной длины из нелинейного активного материала, обладающего способностью уменьшать деформации в ответ на увеличение растягивающих напряжений [1, 2]. Изучается влияние частоты и амплитуды вынуждающих колебаний давления на входе трубы на ее расходную характеристику и на поведение трубы в зависимости от ее длины и некоторых реологических параметров.

Первые попытки изучения в рамках указанной модели течения при нестационарных условиях на концах трубы и в окружающей ее среде содержатся в [3, 4]. В работе [5] построено общее решение такой задачи при внешних периодических воздействиях малой амплитуды. В настоящей заметке анализируются некоторые результаты численного решения аналогичной задачи для широкого диапазона изменений частоты и амплитуды колебаний давления на входе трубы.

1. Рассмотрим неустановившееся течение несжимаемой жидкости с постоянной вязкостью μ в трубке переменного радиуса $R^\circ(x^\circ, t^\circ)$ и конечной длины L . Радиус трубы $R^\circ(x^\circ, t^\circ)$ и трансмуральное давление $p^\circ(x^\circ, t^\circ)$ (равное разности среднего по сечению давления в жидкости и принятого постоянного давления вне трубы) связаны соотношениями, которые в безразмерном виде принимают форму [6]

$$\begin{aligned} R \frac{\partial R}{\partial t} &= \frac{F}{4} \frac{\partial}{\partial x} \left(R^4 \frac{\partial p}{\partial x} \right) \\ \frac{\partial R}{\partial t} &= \beta \frac{\partial p}{\partial t} - \frac{1}{\gamma} [R - P_s(p)] \\ F &= \frac{r_0^2 p_*^\circ t_*}{4\mu L^2}, \quad \beta = \frac{p_*^\circ}{K}, \quad \gamma = \frac{t_r}{t_*} \end{aligned} \quad (1.1)$$

Здесь сохранены обозначения статьи [6], лишь радиус трубы и время ретардации материала стенки обозначены соответственно через R и t_r . Полином 3-й степени $P_s(p^\circ)$ соответствует S -образной статической характеристике трубы [6]. Пусть входное давление периодически меняется со временем с частотой ω , а выходное сохраняется постоянным, что в безразмерном виде представляется как

$$p(0, t) = p_+ (1 + h \sin 2\pi\Omega t), \quad p(1, t) = p_- \quad (1.2)$$

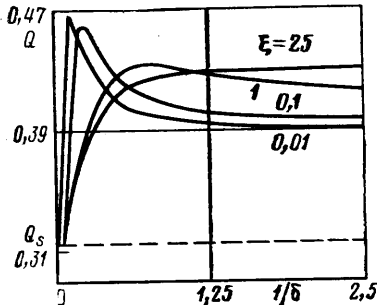
В качестве начальных условий взяты [6]

$$R(x, 0) = R_0 = \text{const}, \quad p(x, 0) = p_+ - x \quad (1.3)$$

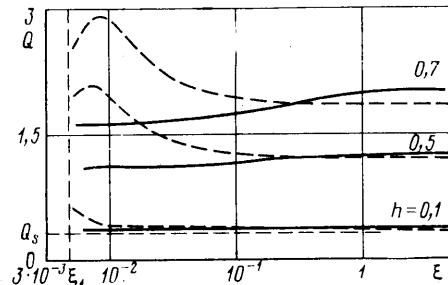
За p_*° принято $p_+^\circ - p_-^\circ$. В задаче имеется кроме характерного гидродинамического времени t_g и времени ретардации материала стенки t_r , еще период вынуждающих колебаний входного давления $t_h = 1/\omega$. Следовательно, Ω в (1.2) имеет вид $\Omega = t_*/t_h$. За t_* имеет смысл принимать $\min\{t_g, t_r, t_h\}$. Если ввести наряду с отношением времени ретардации к гидродинамическому времени $\xi = t_r/t_g$ еще параметр δ , представляющий собой $\delta = t_h/t_r$, то

при $t_* = t_r$, получим в (1.1) $F = \xi$, $\gamma = 1$. Если $t_* = t_g$, то $F = 1$, $\gamma = \xi$, а при $t_* = t_h$ имеем $F = \xi\delta$, $\gamma = 1/\delta$.

Решение системы (1.1)–(1.3) зависит кроме указанных в [6] девяти безразмерных параметров еще от h и δ . Система решалась численно на ЭВМ БЭСМ-6 методом прогонки с итерациями. Было принято, как и в [6], $r_0 = 2 \cdot 10^{-3}$ см, $\mu = 0,03$ г/см с, $p_+^\circ = 80$ мм рт. ст., $p_-^\circ = 75$ мм рт. ст. Расчеты проводились при β и ξ , обеспечивающих при $h=0$ стационарный ре-



Фиг. 1



Фиг. 2

жим течения [6], т. е., при $\beta = 0,5$ и $\xi > \xi_1 = 0,0044$, а именно при $\xi = 0,01; 0,1; 1; 25$ (что соответствует, например, при $t_r = 5$ с значениям $L = 10; 3,3; 1; 0,2$ см). Было найдено, что при $h \neq 0$ система (1.1)–(1.3) имеет периодические (при $t \rightarrow \infty$) решения с периодом, равным периоду вынуждающих колебаний. В качестве расходной характеристики рассматривался средний за период расход Q . Решение при $t \rightarrow \infty$, как и в [6], оказалось не зависящим от начальных условий.

2. Целью первой серии расчетов было определение влияния частоты вынуждающих колебаний давления на расходную характеристику трубы Q и на поведение трубы в зависимости от ее длины. Значения δ менялись от 200 до 0,02, что соответствует изменению частоты ω от $0,001$ до 10 c^{-1} . Полагалось $h = 0,05$, что в любой момент времени обеспечивало сохранение условия $p(0, t) > p(1, t)$.

На фиг. 1 видно, что расход Q – немонотонная функция частоты ω для всех исследованных длин трубы. Было обнаружено существование малого $\omega_1(\xi)$, такого, что при $\omega < \omega_1$ расход снижается по отношению к своему стационарному значению Q_s при $h=0$ на величину порядка 0,1%, затем при $\omega = \omega_1$ становится равным Q_s и далее с ростом ω увеличивается до $Q = Q_{\max}(\xi)$ при $\omega = \omega_2$, причем ω_2 уменьшается, а Q_{\max} растет с увеличением длины трубы. Эффект снижения расхода при малых частотах получен аналитически в [5]. Можно показать, что $\omega_1(\xi)$, как и в [5], по порядку величины совпадает с частотой колебаний в консервативной волне [2]. С помощью фиг. 1 можно оценить для любой частоты влияние вязкоупругих свойств стенки на расход в зависимости от длины трубы.

При малых частотах давление в трубке колебляется синхронно с входным давлением, но имеет сдвиг по фазе ϕ относительно колебаний радиуса (например, при $\xi = 0,1$ и $\omega = 0,01 \text{ c}^{-1}$ он составляет около $3\pi/2$). С ростом ω величина ϕ уменьшается (так, при $\xi = 25$ и $\omega = 0,5 \text{ c}^{-1}$ радиус и давление колеблются почти синхронно), но в колебаниях давления внутри трубы возникает запаздывание относительно входного давления (при $\xi = 25$ и $\omega = 10 \text{ c}^{-1}$ оно доходит до $2\pi/5$). В течение цикла трубка непрерывно меняет свою форму от расширяющейся при $p(0, t)_{\min}$ к сужающейся при $p(0, t)_{\max}$. Волны, распространяющиеся вдоль трубы, не наблюдалось.

При всех исследованных ξ , начиная с некоторой частоты $\omega_*(\xi)$, в окрестности выходного сечения формируется стационарная зона, нечувствительная к колебаниям давления на входе. С ростом ω граница этой зоны смещается вверх по потоку (за границу зоны принято сечение, в котором

величины давления и радиуса отличаются от стационарных больше чем на 0,1%). Более подробный анализ результатов, отражающих этот факт, приводит к выводу, что длина L_* участка, чувствительного к колебаниям входного давления, обратно пропорциональна числу Струхала Sh , равному $L\omega/V$, где V – характерная скорость жидкости ($V=L/t_g$ и, следовательно, $Sh=t_g/t_h$)

$$\frac{L_*}{L} = \frac{Sh_*}{Sh} \quad (2.1)$$

где Sh_* – значение Sh , при котором в малой окрестности выходного сечения возникает зона стационарного течения. Значит, при $Sh \leq Sh_*$ вся трубка чувствительна к колебаниям входного давления, а при $Sh > Sh_*$ справедлива формула (2.1) и $L_*/L < 1$. Вообще говоря, обнаружив путем численного эксперимента наличие L_* , можно получить (2.1) из соображений теории размерности. В общем случае, по-видимому, $Sh=Sh_*(p_+, p_-, \beta, h)$, однако оценка степени влияния каждого из этих параметров возможна лишь после дополнительного исследования.

3. Для выяснения влияния амплитуды колебаний входного давления на расходную характеристику трубы в зависимости от ее длины L и времени ретардации материала ее стенки t , была проведена вторая серия расчетов, в которой было принято $\beta=1$ и $\omega=1 \text{ c}^{-1}$. Параметр ξ менялся в диапазоне значений, обеспечивающих при $h=0$ стационарный режим течения при $t \rightarrow \infty$ (т. е. $\xi > \xi_1$), а амплитуда колебаний давления h варьировалась в пределах от 0 до 0,95.

На фиг. 2 представлена зависимость расходной характеристики от параметра ξ для некоторых h . Сплошные кривые соответствуют трубкам из одного и того же материала, но разной длины. На штриховых кривых выполняется условие $\xi\delta=t_h/t_g=\text{const}$, что описывает трубы одинаковой длины из разного материала, причем меньшему ξ соответствует меньшее t_r . В точках пересечения каждой пары кривых для одного и того же h значения L и t , одинаковы ($L=2 \text{ см}, t_r=5 \text{ с}$).

Из фиг. 2 видно, в частности, что в трубах, длина которых близка к критическому значению, соответствующему ξ_1 , чувствительность расходной характеристики к колебаниям входного давления снижается по сравнению с более короткими трубами, причем при умеренных h этот эффект заметнее. Аналогичный вывод можно сделать на основе расчетов п. 2 для $h=0,05$ при $\omega \geq 1 \text{ c}^{-1}$ (при меньших ω функция $Q(\xi)$ немонотонна).

Анализ результатов обеих серий расчетов приводит к заключению, что периодические колебания давления (даже с малой частотой) на входе трубы из нелинейного активного материала могут существенно влиять на расходную характеристику трубы.

ЛИТЕРАТУРА

- Регириер С. А., Руткевич И. М., Усик П. И. Модель сосудистого тонуса.– Механика полимеров, 1975, № 4, с. 585–589.
- Регириер С. А., Руткевич И. М. Волновые движения жидкости в трубках из вязкоупругого материала. Волны малой амплитуды.– Изв. АН СССР. МЖГ, 1975, № 1, с. 45–53.
- Киреева Е. Е. Вынужденные колебания малой амплитуды в трубке с миогенно-активной стенкой.– В кн.: Тез. докл. 3-й Всесоюз. конф. по проблемам биомеханики. Рига, 1983, т. 1, с. 218–219.
- Скобелева И. М. О следствиях пульсовых колебаний давления в малом кровеносном сосуде.– В кн.: Тез. докл. 3-й Всесоюз. конф. по проблемам биомеханики. Рига, 1983, т. 1, с. 234–235.
- Киреева Е. Е., Регириер С. А. Волновые движения жидкости в трубках из вязкоупругого материала. Вынужденные колебания.– Изв. АН СССР. МЖГ, 1984, № 4, с. 94–99.
- Скобелева И. М. О некоторых режимах течения жидкости в трубках из вязкоупругого материала.– Докл. АН СССР, 1983, т. 272, № 3, с. 564–566.

Москва

Поступила в редакцию
21.V.1984